

Диссипативные солитоны в углеродных нанотрубках

© М.Б. Белоненко¹, Н.Г. Лебедев², Е.В. Сочнева²

¹ Волгоградский государственный педагогический университет,
Волгоград, Россия

² Волгоградский государственный университет,
Волгоград, Россия

E-mail: mbelonenko@yandex.ru

(Поступила в Редакцию в окончательном виде 2 июня 2010 г.)

Установлена теоретическая возможность существования аналогов диссипативных солитонов в массивах углеродных нанотрубок при воздействии на массив внешним однородным высокочастотным электрическим полем. Электромагнитное поле было рассмотрено в рамках уравнений Максвелла, а электроны проводимости углеродных нанотрубок описывались при помощи кинетического уравнения Больцмана в приближении времен релаксации. Внешнее переменное поле служит для накачки энергией электронной подсистемы, в то время как конечное время релаксации приводит к диссипации энергии. Обнаружена генерация периодической последовательности электромагнитных импульсов, что может быть применено для получения частот терагерцевого диапазона.

Работа проведена в рамках реализации ФЦП „Научные и научно-педагогические кадры инновационной России“ на 2009–2013 гг. (грант № НК-16(3)), а также поддержана Российским фондом фундаментальных исследований (грант № 08-02-00663).

1. Введение

Начиная с пионерских работ [1,2] изучение солитонов как нелинейных устойчивых образований различной природы проходило по двум путям: поиск физических ситуаций, которые описываются уже изученными моделями, и обобщение известных моделей для приближения к реальным физическим ситуациям, прежде всего путем учета диссипации, неизбежно присутствующей в любых системах. Отметим в связи с этим прежде всего исследование в области „опрокидывающихся солитонов“ [3,4]. Наиболее интересное обобщение, на наш взгляд, было получено сравнительно недавно [5–8] и связано с понятием диссипативных солитонов. Если учесть, что устойчивость солитонов обеспечивается балансом дисперсии и нелинейности, то в случае диссипативных солитонов выдвигается дополнительное требование баланса между поступающей энергией и энергией, рассеянной вследствие диссипации. Такое обобщение является наиболее естественным для сред, в которых нельзя пренебречь диссипативными процессами и можно предположить баланс дисперсии и нелинейности. Теория диссипативных солитонов получила большое развитие, и данные структуры были найдены в различных физически интересных ситуациях: полупроводниковых оптических усилителях, лазерных системах с насыщающимся поглощением, магнитооптике и пр. [9–12]. Вместе с тем хорошо известно, что углеродные нанотрубки (УНТ) обладают уникальными нелинейными свойствами, позволяющими предполагать существование в них обычных солитонов [4–15]. Сочетание относительно простого строения углеродных нанотрубок с их квазиодномерностью делает эти вещества весьма привлекательными для изучения как

теоретиками, так и экспериментаторами. Так, например, при помощи редукции к уравнению Кортевега-де-Фриза были исследованы нелинейные свойства углеродных нанотрубок, связанные с негармоничностью потенциала взаимодействия между соседними атомами углерода [16]. В работах [17,18] изучались вопросы, связанные с нелинейным откликом углеродных нанотрубок на электромагнитное поле. Нелинейность, согласно выводам, сделанным в этих работах, возникает вследствие изменения классической функции распределения электронов и непараболического закона дисперсии электронов.

Возможность существования солитонов и зависимость их параметров от параметров углеродных нанотрубок были установлены в работах [19,20], и естественно возникает вопрос о существовании диссипативных солитонов. Поскольку существует естественный механизм диссипации энергии, связанный с рассеянием электронов углеродных нанотрубок на примесях и неоднородностях, необходимо предложить способ „подпитки“ энергией. В качестве такого способа предлагается помещать систему углеродных нанотрубок во внешнее однородное высокочастотное поле, которое будет играть роль „накачки“.

Все изложенные выше обстоятельства и послужили стимулом для написания настоящей работы.

2. Описание модели

Исследование электронной структуры УНТ приведено в достаточно большом количестве работ [21,22] и проводится в рамках анализа динамики π -электронов в приближении сильной связи. Так, в рамках данной модели закон дисперсии, который описывает свойства

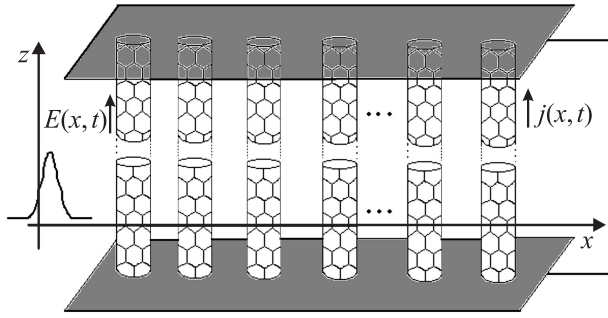


Рис. 1. Геометрия задачи.

графена, имеет вид [23]

$$E(\mathbf{p}) = \pm \gamma \times \sqrt{1 + 4 \cos(dp_x) \cos(dp_y/\sqrt{3}) + 4 \cos^2(dp_y/\sqrt{3})},$$

где $\gamma \approx 2.7 \text{ eV}$, $d = 3b/2\hbar$, $b = 0.142 \text{ nm}$ — расстояние между соседними атомами углерода в графене, $\mathbf{p} = (p_x, p_y)$. Отметим, что разные знаки относятся к зоне проводимости и валентной зоне. Для получения закона дисперсии в случае УНТ достаточно учесть способ сворачивания графеновой плоскости в цилиндр и наложить условия квантования квазиимпульса \mathbf{p} в направлении вдоль окружности УНТ. Так, для УНТ типа zigzag, на свойствах которых и остановимся для определенности задачи, соответственно получаем

$$E(\mathbf{p}) = \pm \gamma \sqrt{1 + 4 \cos(dp_z) \cos(\pi s/m) + 4 \cos^2(\pi s/m)}, \quad (1)$$

где квазиимпульс \mathbf{p} задается как (p_z, s) , $s = 1, 2 \dots m$. При построении нашей модели распространения ультракороткого оптического импульса в системе нанотрубок в случае геометрии, представленной на рис. 1, будем описывать электромагнитное поле импульса классически, на основании уравнений Максвелла. Так, в калибровке $\mathbf{E} = -\frac{1}{c} \frac{\partial \mathbf{A}}{\partial t}$ уравнения Максвелла с учетом диэлектрических и магнитных свойств УНТ [24] можно записать как

$$\frac{\partial^2 \mathbf{A}}{\partial x^2} - \frac{1}{c^2} \frac{\partial^2 \mathbf{A}}{\partial t^2} + \frac{4\pi}{c} \mathbf{j} = 0, \quad (2)$$

причем здесь пренебрегается дифракционным расплыванием лазерного пучка в направлениях, перпендикулярных оси распространения. Вектор-потенциал \mathbf{A} считается имеющим вид $\mathbf{A} = (0, 0, A_z(x, t))$.

Отметим, что здесь речь идет о непрерывном массиве нанотрубок, который часто получается при их выращивании. В этом случае возникает вопрос о необходимости уточнения закона дисперсии электронов в УНТ (1) с учетом их возможного перескока между различными нанотрубками, но, как показывают квантово-химические оценки, величина соответствующего интеграла перескока много меньше γ , и возникающими изменениями можно пренебречь.

Для определения тока воспользуемся полуклассическим приближением [18], взяв закон дисперсии (1) из квантово-механической модели и описывая эволюцию ансамбля частиц классическим кинетическим уравнением Больцмана в приближении времен релаксации

$$\frac{\partial f}{\partial t} - \frac{e}{c} \frac{\partial A_z}{\partial t} \frac{\partial f}{\partial p_z} = \frac{F_0 - f}{\tau}, \quad (3)$$

где e — заряд электрона.

Отметим, что в (3) функция распределения $f = f(p_z, s, t)$ неявно зависит от координаты x в силу зависимости компоненты вектор-потенциала A_z , следующей из (2). Зависимость же функции распределения от координаты z можно пренебречь согласно [18]. F_0 — равновесная функция распределения Ферми

$$F_0 = \frac{1}{1 + \exp(E(\mathbf{p})/k_b T)},$$

где T — температура, k_b — постоянная Больцмана. Время релаксации τ можно оценить согласно [18] примерно как $3 \cdot 10^{-13} \text{ s}$. Отметим также, что при записи уравнения (3) пренебрегалось эффектами, связанными с неоднородностью электромагнитного поля вдоль оси нанотрубки. С одной стороны, это оправдано уже введенным выше предположением о плоском характере волнового фронта лазерного импульса. С другой стороны, за пределами рассмотрения настоящей работы остается круг вопросов, связанный с наличием подложки, на которой и выращиваются нанотрубки.

Необходимо отметить и то обстоятельство, что в рамках используемой нами полуклассической модели не учтены межзонные переходы, что, как показано в [18], дает ограничение на максимальную частоту лазерных импульсов. Для типичных нанотрубок данная частота лежит в ближней инфракрасной области.

Уравнение (2) легко решается методом характеристик

$$f = F_0 \left(p_z + \frac{q}{c} A_z(t) \right) e^{-t/\tau} + \frac{1}{\tau} \int_{-\infty}^t e^{-(t-t')/\tau} F_0 \left[p_z + \frac{q}{c} (A_z(t) - A_z(t')) \right] dt', \quad (4)$$

и можно с учетом указанного выше записать выражение для плотности тока $\mathbf{j} = (0, 0, j_z)$

$$j_z = \frac{q}{\pi \hbar} \sum_s \int dp_z v_z f, \quad (5)$$

где, как и обычно, $v_z = \partial E(\mathbf{p})/\partial p_z$.

Выражения (2), (3), (5) составляют основную систему уравнений, описывающую рассматриваемую нами модель.

3. Внешнее переменное высокочастотное поле и эффективные уравнения

Будем рассматривать переменное электрическое поле $A_z(t)$ как состоящее из двух частей: поле распространяющегося импульса $A(t)$ и поле внешней высокочастотной накачки: $A_z(x, t) = A(x, t) + \frac{cE_0 \cos w_0 t}{w_0}$, где E_0 — амплитуда, а w_0 — частота внешнего высокочастотного поля. Условие высокочастотности здесь понимается как $w_0 \gg 1/\tau$, т. е. фактически частота внешнего поля должна лежать в оптическом диапазоне. Поле импульса $A(t)$ будет как обычно удовлетворять уравнению Максвелла

$$\frac{\partial^2 A(x, t)}{\partial x^2} - \frac{1}{c^2} \frac{\partial^2 A(x, t)}{\partial t^2} + \frac{4\pi}{c} j = 0. \quad (6)$$

Выражение для тока будет состоять из двух слагаемых

$$j_z = \frac{e}{\pi \hbar} \sum_s \int_{-q_0}^{q_0} dp_z dp_z v_z F_0 \left(p_z + \frac{q}{c} A_z(t) \right) e^{-t/\tau} + \frac{e}{\pi \hbar \tau} \times \sum_s \int_{-q_0}^{q_0} dp_z \int_{-\infty}^t e^{-(t-t')/\tau} v_z F_0 \left[p_z + \frac{q}{c} (A_z(t) - A_z(t')) \right] dt', \quad (7)$$

где для УНТ типа zigzag интегрирование ведется по первой зоне Бриллюэна и $q_0 = \frac{2\pi \hbar}{3b}$. Функцию $v_z(x)$ представим в виде (с учетом зависимости закона дисперсии и равновесной функции распределения F_0 от индекса s)

$$v_z(s, x) = \sum_m a_{ms} \sin(mx),$$

$$a_{ms} = \frac{1}{\pi} \int_{-\pi}^{\pi} v_z(s, x) \sin(mx) dx. \quad (8)$$

Далее произведем в первом слагаемом замену $p = p_z + \frac{q}{c} A_z(t)$, а во втором — $p = p_z + \frac{q}{c} (A_z(t) - A_z(t'))$.

В первом слагаемом будем соответственно иметь

$$v_z(s, p) = \sum_m a_{ms} \sin \left[m \left(p - \frac{q}{c} A_z(t) \right) \right]$$

$$= \sum_m a_{ms} \left[m \left(p - A(x, t) - \frac{cE_0 \cos w_0 t}{w_0} \right) \right]$$

$$= - \sum_m a_{ms} \cos(mp) \sin \left[m \left(A(x, t) + \frac{cE_0 \cos w_0 t}{w_0} \right) \right],$$

где уже учтено, что вследствие четности F_0 слагаемые, содержащие $\sin(mp)$, при интегрировании по p вклада не дадут. Далее можно произвести усреднение по периоду

колебаний высокочастотного поля и записать

$$v_z(s, p) = - \sum_m a_{ms} B_m(E_0) \cos(mp) \sin \left[m \left(A(x, t) \right) \right],$$

$$B_m(E_0) = \frac{w_0}{2\pi} \int_0^{2\pi/w_0} \cos \left(\frac{cmE_0 \cos w_0 t}{w_0} \right) dt. \quad (9)$$

Аналогично выполняется усреднение по периоду высокочастотного поля и во втором слагаемом в (7). Отметим, что коэффициенты $B_m(E_0)$ изменяют знак, что и позволяет увидеть возможность усиления при воздействии высокочастотного поля. Так, если в (7) перейти к бесстолкновительному пределу и ограничиться в (8) только одним слагаемым, то можно получить уравнение sine-Gordon [19,20]. Как следует из теории уравнения sine-Gordon [25], если величина $\text{sgn}(B_1(E_0))$ меняет знак, то импульсы малой амплитуды становятся неустойчивыми и стремятся увеличить свою площадь по π . Это соответствует в теории самоиндуцированной прозрачности случаю инвертированной среды [26]. В нашем же случае это будет соответствовать безынверсионному усилению электромагнитных импульсов малой амплитуды за счет взаимодействия с внешним высокочастотным переменным полем.

Все это и послужило стимулом для дальнейшего численного исследования уравнения (6) с учетом (7)–(9).

4. Основные результаты численного моделирования

Исследуемые уравнения решались численно при помощи прямой разностной схемы типа „крест“ [27]. Шаги по времени и координате определялись из стандартных условий устойчивости. Далее начальное условие выбиралось в виде гауссового решения с амплитудой A_0 . Такое начальное условие соответствует тому, что на образец подается предельно короткий импульс, состоящий из двух „полуколебаний“ электрического поля и имеющий нулевую „площадь“. Значения таких параметров, как $\gamma \approx 2.7$ eV, $b = 0.142$ nm, выбирались исходя из геометрии задачи, а также оценивались, например, при помощи квантово-химического полумпирического метода MNDO [28] из расчетов электронного строения углеродных нанотрубок.

Распространение импульса при начальной скорости $v = 0.5c$ (c — скорость света) для углеродной нанотрубки типа (6, 0) приведено на рис. 2.

Предельно короткий импульс разделяется на два (с образованием провала в месте максимума импульса) и далее эти импульсы начинают распространяться. В свою очередь в ходе распространения каждый из импульсов, образовавшихся из первоначального, разделяется на два и т.д. Аналогичное поведение (разделение первоначального импульса на два и их дальнейшее распространение) наблюдалось при исследовании динамики предельно коротких импульсов в системах нанотрубок [19,20].

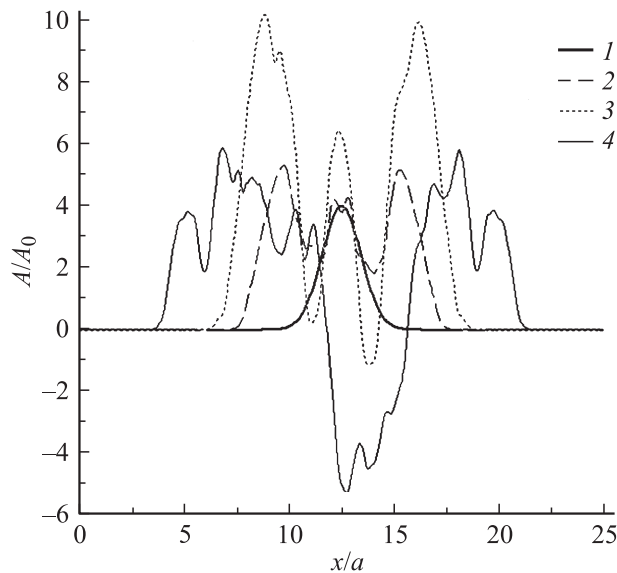


Рис. 2. Амплитуда импульса электромагнитного поля в системе УНТ с усилением и поглощением при различных значениях t/τ . Здесь и на рис. 3–5 по оси ординат отложена амплитуда импульса в относительных единицах, $a = 1 \mu\text{m}$. t/τ : 1 — 0, 2 — 1, 3 — 2, 4 — 4.

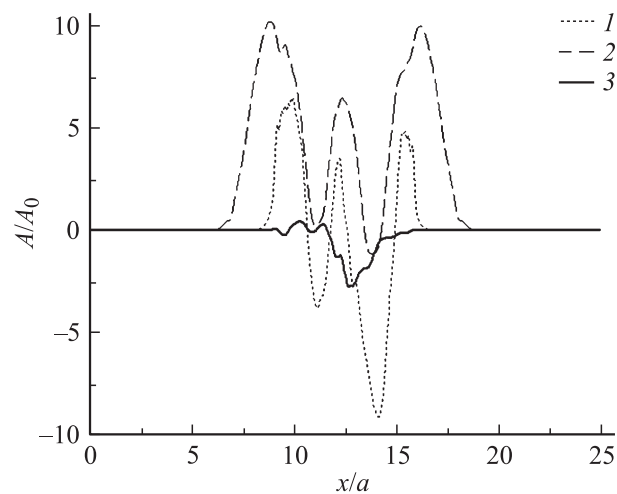


Рис. 3. Амплитуда импульса электромагнитного поля в системе УНТ в зависимости от величины внешнего переменного поля. $t/\tau = 2$. \tilde{E} : 1 — 0.1, 2 — 1, 3 — 5.

В данном случае в силу того, что в системе существует усиление, и импульс начинает усиливаться до тех пор, пока не наступит баланс между диссипацией и усилением, разделившиеся импульсы обладают примерно одинаковой амплитудой и процесс „разделения“ повторяется. Отметим еще раз, что процесс „разделения“ импульсов на два и дальнейшего усиления повторяется и в итоге на выходе будет периодический цуг импульсов.

Здесь видно, что величина амплитуды разделившихся импульсов в фиксированный момент времени определяется амплитудой внешнего высокочастотного поля, и при некоторых значениях амплитуды этого поля в

соответствии с изложенным ранее (раздел 3) величина $B_t(E_0)$ меняет знак и усиление исчезает, в этом случае динамика импульса в данной среде аналогична динамике, представленной в работах [15,16]. Видно также и то, что усиление определяется величиной внешнего высокочастотного поля.

На рис. 4 представлена зависимость формы импульса, распространяющегося в нашей системе, от величины γ .

Ток в уравнении (6) пропорционален величине γ (в силу пропорциональности $v_z(s, p)$ этой величине); согласно рис. 4, увеличение γ приводит к увеличению

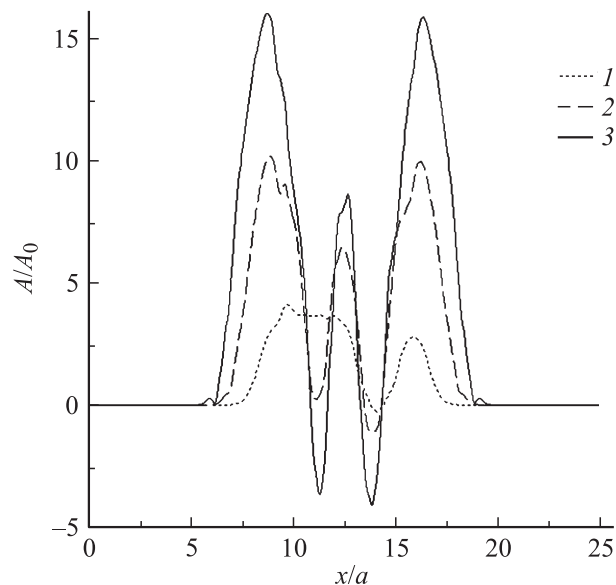


Рис. 4. Амплитуда импульса электромагнитного поля в системе УНТ в зависимости от величины γ . $t/\tau = 2$. γ, eV : 1 — 0.1, 2 — 0.5, 3 — 1.

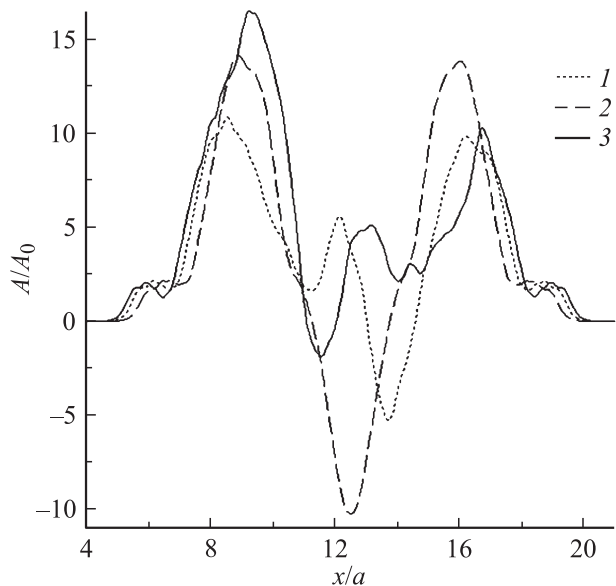


Рис. 5. Зависимости распределения поля импульса в пространстве от амплитуды импульса в начальный момент времени. $t/\tau = 3$. $A_{\text{max}}(x/a, 0)/A_0$: 1 — 4, 2 — 7, 3 — 10.

амплитуды образующихся импульсов. Это обстоятельство в свою очередь указывает на то, что данные импульсы образуются и за счет конкуренции дисперсии и нелинейности в рассматриваемой системе. Отметим, что при малой величине γ , как видно из рис. 4, нелинейности недостаточно, чтобы „раскачать“ образование „устойчивого“ импульса, и происходит просто дисперсионное распыление.

Важной отличительной особенностью диссипативных солитонов является то, что их форма слабо зависит от начальных условий. С целью проверки выполнения этой особенности в рассматриваемой нами системе была исследована зависимость формы распада импульса от начальной амплитуды A_0 (рис. 5).

Здесь можно заметить, что по мере удаления от места локализации импульса в начальный момент времени, импульсы, соответствующие разным начальным условиям, начинают приобретать одинаковую форму и различия между ними уменьшаются. Это в свою очередь дает возможность считать, что в рассматриваемой нами системе наблюдаются те же самые особенности, что и при образовании диссипативных солитонов.

Необходимо также отметить, что в [5–8] под диссипативными солитонами понимались пространственно локализованные решения, в то время как в настоящей работе наблюдался режим, который соответствует скорее образованию „решетки“, состоящей из диссипативных солитонов. Отметим, что это обстоятельство можно связать с тем, что диссипативные солитоны, согласно приведенным выше работам, существуют только в узком диапазоне параметров, а также с тем, что рассматриваемая нами система даже без учета диссипации и усиления за счет внешнего высокочастотного поля далека от интегрируемой. Таким образом, изучаемая нами физическая система может быть рассмотрена как новая среда, в которой возможно существование диссипативных солитонов или решеток из диссипативных солитонов.

5. Заключение

Сформулируем основные выводы настоящей работы.

1) Получена система уравнений, описывающая динамику электрического поля в системе углеродных нанотрубок в присутствии внешнего высокочастотного переменного поля и с учетом диссипации энергии в электронной подсистеме.

2) Установлено, что в рассматриваемой системе возникает последовательность импульсов, которая образуется путем „развала“ начального импульса и дальнейшего усиления за счет внешнего высокочастотного поля с последующим развалом и усилением.

3) При изменении амплитуды внешнего высокочастотного поля возможен режим, когда усиления не происходит, и импульс распадается за счет дисперсии в системе углеродных нанотрубок.

4) Форма возникающей последовательности импульсов (т.е. пики электрического поля, которые постоянно разделяются на аналогичные пики) на больших расстояниях слабо зависит от начальных условий вследствие наличия диссипации и усиления в данной системе.

Список литературы

- [1] N.J. Zabusky, M.D. Kruskal. *Phys. Rev. Lett.* **15**, 240 (1965).
- [2] R.M. Miura, C.S. Gardner, M.D. Kruskal. *Math. Phys.* **9**, 1204 (1968).
- [3] О.И. Богоявленский. *Изв. АН СССР. Сер. мат.* **54**, 6, 1123 (1990).
- [4] О.И. Богоявленский. *Опрокидывающиеся солитоны*. Наука, М. (1991). 320 с.
- [5] Н.Н. Ахмедиев, А. Анкевич. *Диссипативные солитоны*. Физматлит, М. (2008). 504 с.
- [6] Н.Н. Розанов. *УФН* **170**, 462 (2000).
- [7] Н.Н. Розанов, С.В. Федоров, А.Н. Шацев. *ЖЭТФ* **129**, 625 (2006).
- [8] S. Barland, J.R. Tredicce, M. Brambilla, L.A. Lugiato, S. Balle, M. Giudici, T. Maggipinto, L. Spinelli, G. Tissoni, T. Knödl, M. Miller, R. Jäger. *Nature* **419**, 699 (2002).
- [9] S. Fauve, O. Thual. *Phys. Rev. Lett.* **64**, 282 (1990).
- [10] S. Longhi, A. Geraci. *Appl. Phys. Lett.* **67**, 3062 (1995).
- [11] A.D. Boardman, M. Xie. *Opt. Soc. Am. B* **14**, 3102 (1997).
- [12] A.D. Boardman, M. Xie. *J. Opt. B* **3**, 5244 (2001).
- [13] G.A. Vinogradov, T.Yu. Astakhova, O.D. Gurin, A.A. Ovchinnikov. *Abstracts of invited lectures and contributed papers „Fullerenes and Atomic Clusters“*. St. Petersburg, Russia (1999). P. 189.
- [14] T.Yu. Astakhova, O.D. Gurin, M. Menon, G.A. Vinogradov. *Phys. Rev. B* **64**, 035418 (2001).
- [15] М.Б. Белоненко, Е.В. Демушкина, Н.Г. Лебедев. *Хим. физика* **25**, 6, 75 (2006).
- [16] М.Б. Белоненко, Е.В. Демушкина, Н.Г. Лебедев. *Хим. физика* **25**, 7, 93 (2006).
- [17] S.A. Maksimenko, G.Ya. Slepyan. In: *The Handbook of nanotechnology. Nanometer structure: theory, modeling, and simulation* / Ed. A. Lakhtakia. SPIE Press, Bellingham (2004).
- [18] G.Ya. Slepyan, S.A. Maksimenko, V.P. Kalosha, J. Herrmann, E.E.B. Campbell, I.V. Hertel. *Phys. Rev. A* **61**, 777 (1999).
- [19] M.B. Belonenko, E.V. Demushkina, N.G. Lebedev. *J. Rus. Laser Res.* **27**, 5, 457 (2006).
- [20] М.Б. Белоненко, Н.Г. Лебедев, Е.В. Демушкина. *ФТТ* **50**, 2, 367 (2008).
- [21] M.F. Lin, K.W. Shung. *Phys. Rev. B* **50**, 23, 17744 (1994).
- [22] R. Saito, M. Fujita, G. Dresselhaus, M.S. Dresselhaus. *Phys. Rev. B* **46**, 3, 1804 (1992).
- [23] P.R. Wallace. *Phys. Rev.* **71**, 9, 622 (1947).
- [24] Л.Д. Ландау, Е.М. Лифшиц. *Теоретическая физика. Т. 2. Теория поля*. Наука, М. (1988). 509 с.
- [25] Р. Буллаф, Ф. Кодри. *Солитоны*. Мир, М. (1983). 408 с.
- [26] S.L. McCall, E.L. Hahn. *Phys. Rev.* **183**, 2, 457 (1969).
- [27] Н.С. Бахвалов. *Численные методы (анализ, алгебра, обыкновенные дифференциальные уравнения)*. Наука, М. (1975). 632 с.
- [28] А.Л. Ивановский. *Квантовая химия в материаловедении. Нанотубулярные формы вещества*. УрО РАН, Екатеринбург (1999). 176 с.